

# Study of Even-Even Nuclei $^{100}\text{Zr}$ by Interacting Boson Model

Hongfei Dong, Yin Wang, Xiaowei Li, Lijun Lv, Tianzhi Wei

Chifeng University, Chifeng Inner Mongolia  
Email: hongfeidong@126.com

Received: Oct. 9<sup>th</sup>, 2019; accepted: Oct. 21<sup>st</sup>, 2019; published: Oct. 28<sup>th</sup>, 2019

---

## Abstract

Even-even nuclei  $^{100}\text{Zr}$  were studied within the framework of the interacting boson model. The E-Gamma Over Spin (E-GOS) was drawn, and the analysis of the dynamic symmetry limit found that  $^{100}\text{Zr}$  is a transition nuclei from U(5) vibrational limit to SU(3) rotational limit, close to O(6) dynamic symmetry limit. At the same time, the energy spectrum of low-lying states of  $^{100}\text{Zr}$  was fitted, the components of the wave function were analyzed, and the B(E2) values of transitions between low-lying states of  $^{100}\text{Zr}$  were analyzed respectively. The results show good agreement with the available experimental data.

## Keywords

Even-Even Nuclei, Interacting Boson Model, Energy Level, E-GOS Curve, Electromagnetic Transitions

---

# IBM模型对偶 - 偶核 $^{100}\text{Zr}$ 的理论研究

董鸿飞, 王 印, 李晓伟, 吕立君, 魏天枝

赤峰学院, 内蒙古 赤峰  
Email: hongfeidong@126.com

收稿日期: 2019年10月9日; 录用日期: 2019年10月21日; 发布日期: 2019年10月28日

---

## 摘 要

本文在相互作用玻色子模型框架下对偶 - 偶核 $^{100}\text{Zr}$ 进行了理论研究。绘制了基态带的E-GOS曲线, 讨论其动力学对称性极限性质, 数据分析表明 $^{100}\text{Zr}$ 是具有U(5)振动极限到SU(3)转动极限之间的过渡核, 趋近于O(6)极限。同时文中也拟合了 $^{100}\text{Zr}$ 核的低能谱的谱带, 并对波函数结构进行了理论研究, 计算了 $^{100}\text{Zr}$ 核的低能谱部分的电磁跃迁, 计算结果表明理论计算与实验值符合较好。

## 关键词

偶-偶核, 相互作用玻色子模型, 能谱, E-GOS曲线, 电磁跃迁

Copyright © 2019 by author(s) and Hans Publishers Inc.

This work is licensed under the Creative Commons Attribution International License (CC BY).

<http://creativecommons.org/licenses/by/4.0/>



Open Access

## 1. 引言

采用唯象的理论模型是原子核结构研究的重要手段。相互作用玻色子模型(interacting boson model, 简称为 IBM)就是一个十分成功的研究原子核集体运动的代数模型, 利用该模型, 人们成功地描述了原子核低激发能谱、电磁跃迁以及相变等性质[1]。在 IBM 中, 假设原子核有一个稳定的双幻核芯, 价核子配对成角动量是 0 或 2 的核子对, 这些核子都被看作是玻色子。角动量  $L$  为 0 的 s 玻色子和  $L$  为 2 的 d 玻色子共有六种, 这六种玻色子算符构成了 IBM 模型的哈密顿量, 即能谱的生成代数是  $U(6)$ 。从  $U(6)$  开始约化, 有  $U(5)$ 、 $SU(3)$ 和  $O(6)$ 三种约化方式。约化的三个子群链为:

$$\begin{aligned} U(6) &\supset U(5) \supset O(5) \supset O(3) \supset O(2) \\ U(6) &\supset SU(5) \supset O(3) \supset O(2) \\ U(6) &\supset O(6) \supset O(5) \supset O(3) \supset O(2) \end{aligned} \quad (1)$$

这三个子群链分别对应于不同类型的动力学对称性, 用来描述原子核的三种集体运动极限: 振动、转动和  $\gamma$ -不稳定特性[2]-[7]。

三个极限的晕态能谱和能级衰变能分别为:

$$\begin{aligned} E_I &= \frac{I}{2} \hbar \omega, \quad E_\gamma(I \rightarrow I-2) = \hbar \omega, \\ E_I &= \frac{\hbar^2}{2J} I(I+1), \quad E_\gamma(I \rightarrow I-2) = \frac{\hbar^2}{2J} (4I-2), \\ E_I &= \frac{I(I+6)}{16} E(2^+), \quad E_\gamma(I \rightarrow I-2) = \frac{E(2^+)}{4} (I+2). \end{aligned}$$

令  $R = \frac{E_\gamma(I \rightarrow I-2)}{I}$  [8], 做  $I$ - $R$  曲线既为 E-GOS 曲线。

将基向量表示为  $|\Psi\rangle = |n_d, n_\beta, n_\Delta, L_d, L\rangle$ , 哈密顿量可写成多极展开形式为:

$$\begin{aligned} H &= \text{EPS}n_d + \frac{1}{2} \text{ELL}(\bar{L} \cdot \bar{L}) + \frac{1}{2} \text{QQ}(\bar{Q} \cdot \bar{Q}) \\ &\quad - 5\sqrt{7} \text{OCT} \left[ (d^\dagger \tilde{d})^{(3)} \times (d^\dagger \tilde{d})^{(3)} \right]_0^{(0)} \\ &\quad + 15 \text{HEX} \left[ (d^\dagger \tilde{d})^{(4)} \times (d^\dagger \tilde{d})^{(4)} \right]_0^{(0)} \end{aligned} \quad (2)$$

其中:

$$\bar{L} \cdot \bar{L} = -10\sqrt{3} \left[ (d^\dagger \tilde{d})^{(1)} \times (d^\dagger \tilde{d})^{(1)} \right]_0^{(0)}$$

$$\bar{Q} \cdot \bar{Q} = \sqrt{5} \left[ \left\{ (s^\dagger \tilde{d} + d^\dagger s)^{(2)} + \frac{\text{CHQ}}{\sqrt{5}} (d^\dagger \tilde{d})^{(2)} \right\} \times \left\{ (s^\dagger \tilde{d} + d^\dagger s)^{(2)} + \frac{\text{CHQ}}{\sqrt{5}} (d^\dagger \tilde{d})^{(2)} \right\} \right]_0^{(0)}$$

式中的 EPS、ELL、QQ、OCT、HEX、CHQ 为模型的可调参数[9]。本文工作是在合理的范围内调节参数数值，使计算结果符合实验数据。

## 2. 计算结果

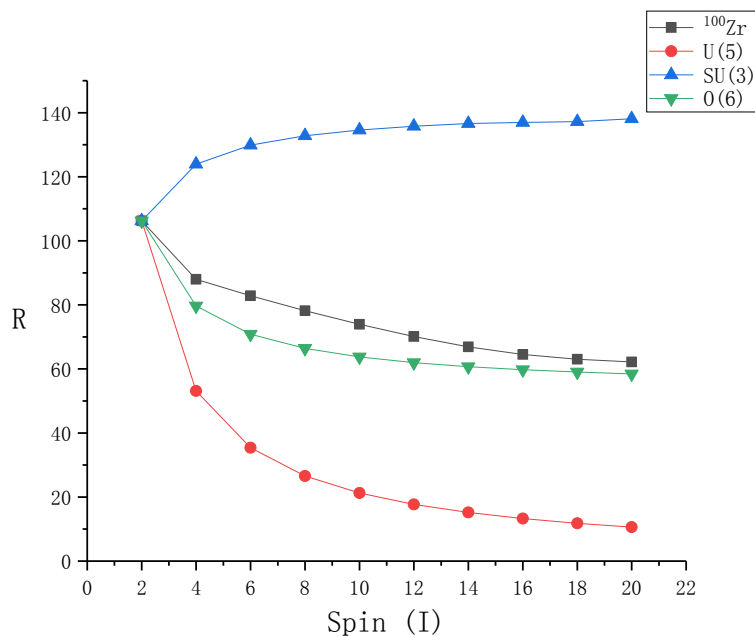
本文研究的是  $^{100}\text{Zr}$ ，它有 10 个价质子(空穴)和 10 个价中子，共组成 10 个玻色子。

### 2.1. 各级限值和 E-GOS 曲线

根据其实验能谱可以计算出  $R$  值并做 E-GOS 曲线， $R$  值见表 1。相应的 E-GOS 曲线见图 1。本文选取了实验数据  $20_1^+$  以下的角动量为偶数的能级。

**Table 1.** Experimental data and the dynamic symmetry limit of  $^{100}\text{Zr}$   
**表 1.**  $^{100}\text{Zr}$  核的实验及各动力学极限值

I	2	4	6	8	10	12	14	16	18	20
实验	106.25	88.00	82.85	78.20	73.92	70.14	66.90	64.52	63.01	62.19
U(5)	106.25	53.13	35.42	26.56	21.25	17.71	15.18	13.28	11.81	10.63
SU(3)	106.25	123.96	129.86	132.81	134.58	135.76	136.61	136.98	137.24	138.13
O(6)	106.25	79.69	70.83	66.41	63.75	61.98	60.71	59.77	59.03	58.44



**Figure 1.** Curve: the E-Gamma over spin of  $^{100}\text{Zr}$   
**图 1.**  $^{100}\text{Zr}$  核的 E-GOS 曲线

## 2.2. 模型参数

通过拟合实验的能级，确定了模型的参数，见表 2。

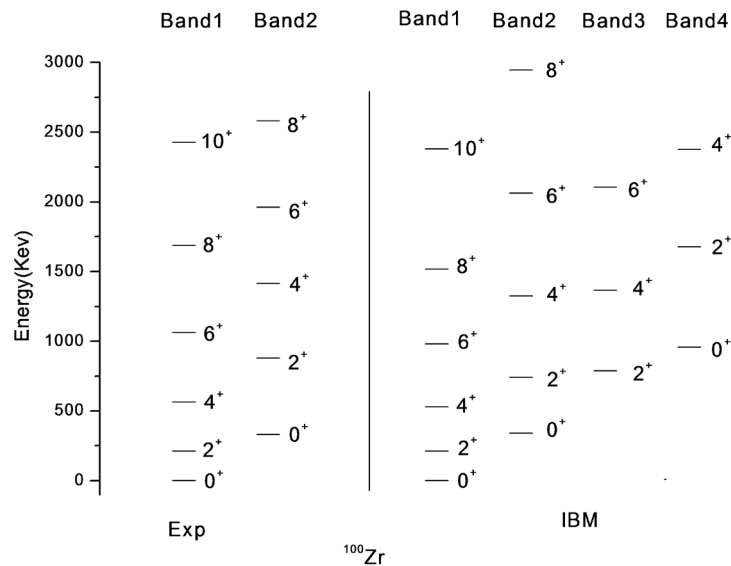
**Table 2.** Hamiltonian matrix of  $^{100}\text{Zr}$

**表 2.**  $^{100}\text{Zr}$  的哈密顿参数

EPS	ELL	QQ	OCT	HEX	CHQ
-0.3201	0.0237	-0.00116	0.0365	0.0252	-2.9580

## 2.3. 能谱结果

在选定的参数下，理论计算的能级与实验能级的对比图见图 2。可见所选参数较好地拟合了低激发态能谱，其中 Band 1 和 Band 2 的符合程度均很好，只是在较合理的范围内存在一定的误差。



**Figure 2.** Experimental energy states and theoretical energy states of  $^{100}\text{Zr}$   
**图 2.**  $^{100}\text{Zr}$  的实验能谱与理论能谱

## 2.4. 波函数

确定了模型参数，我们就可以给出每条能级具体的波函数，本文主要用到的波函数的结构为：

$$\begin{aligned}
 |0_1^+\rangle &\approx 0.5248|s^{10}d^0\rangle + 0.4457|s^8d^2\rangle + 0.0292|s^6d^4\rangle + 0.0003|s^4d^6\rangle \\
 |\Psi_0^1\rangle &\approx 0.724|0,0,0,0,0^+\rangle + 0.668|2,1,0,0,0^+\rangle + 0.171|4,2,0,0,0^+\rangle \\
 &\quad + 0.018|6,3,0,0,0^+\rangle + 0.001|8,4,0,0,0^+\rangle \\
 |0_2^+\rangle &\approx 0.4704|s^{10}d^0\rangle + 0.4528|s^8d^2\rangle + 0.0756|s^6d^4\rangle + 0.0012|s^4d^6\rangle \\
 |\Psi_0^2\rangle &\approx 0.686|0,0,0,0,0^+\rangle - 0.673|2,1,0,0,0^+\rangle - 0.275|4,2,0,0,0^+\rangle \\
 &\quad - 0.035|6,3,0,0,0^+\rangle - 0.002|8,4,0,0,0^+\rangle
 \end{aligned}$$

$$\begin{aligned}
|0_3^+\rangle &\approx 0.8624|s^6d^4\rangle + 0.1010|s^8d^2\rangle + 0.0317|s^4d^6\rangle + 0.0048|s^{10}d^0\rangle \\
|\Psi_0^3\rangle &\approx -0.069|0,0,0,0,0^+\rangle + 0.318|2,1,0,0,0^+\rangle - 0.929|4,2,0,0,0^+\rangle \\
&\quad - 0.178|6,3,0,0,0^+\rangle - 0.011|8,4,0,0,0^+\rangle \\
|2_1^+\rangle &\approx 0.8335|s^9d^1\rangle + 0.1519|s^7d^3\rangle + 0.0105|s^8d^2\rangle + 0.0002|s^6d^4\rangle \\
|\Psi_2^1\rangle &\approx 0.913|1,0,0,2,2^+\rangle - 0.103|2,0,0,2,2^+\rangle + 0.390|3,1,0,2,2^+\rangle - 0.015|4,1,0,2,2^+\rangle \\
&\quad + 0.062|5,2,0,2,2^+\rangle - 0.001|6,2,0,2,2^+\rangle + 0.004|7,3,0,2,2^+\rangle \\
|2_2^+\rangle &\approx 0.7410|s^7d^3\rangle + 0.1203|s^9d^1\rangle + 0.0899|s^8d^2\rangle + 0.0434|s^5d^5\rangle \\
&\quad + 0.0051|s^6d^4\rangle + 0.0003|s^2d^8\rangle + 0.0001|s^3d^7\rangle \\
|\Psi_2^2\rangle &\approx -0.347|1,0,0,2,2^+\rangle + 0.300|2,0,0,2,2^+\rangle + 0.861|3,1,0,2,2^+\rangle + 0.071|4,1,0,2,2^+\rangle \\
&\quad + 0.208|5,2,0,2,2^+\rangle + 0.007|6,2,0,2,2^+\rangle + 0.018|7,3,0,2,2^+\rangle + 0.001|9,4,0,2,2^+\rangle \\
|2_3^+\rangle &\approx 0.8338|s^8d^2\rangle + 0.0599|s^5d^5\rangle + 0.0564|s^7d^3\rangle + 0.0451|s^9d^1\rangle \\
&\quad + 0.0040|s^6d^4\rangle + 0.0007|s^3d^7\rangle \\
|\Psi_2^3\rangle &\approx -0.212|1,0,0,2,2^+\rangle - 0.913|2,0,0,2,2^+\rangle + 0.238|3,1,0,2,2^+\rangle - 0.245|4,1,0,2,2^+\rangle \\
&\quad + 0.063|5,2,0,2,2^+\rangle - 0.026|6,2,0,2,2^+\rangle - 0.001|7,3,0,2,2^+\rangle \\
|2_4^+\rangle &\approx 0.9079|s^5d^5\rangle + 0.0656|s^8d^2\rangle + 0.0262|s^7d^3\rangle + 0.0002|s^9d^1\rangle + 0.0001|s^2d^8\rangle \\
|\Psi_2^4\rangle &\approx 0.014|1,0,0,2,2^+\rangle + 0.256|2,0,0,2,2^+\rangle - 0.002|3,1,0,2,2^+\rangle - 0.953|4,1,0,2,2^+\rangle \\
&\quad - 0.004|5,2,0,2,2^+\rangle - 0.162|6,2,0,2,2^+\rangle - 0.009|7,3,0,2,2^+\rangle \\
|4_1^+\rangle &\approx 0.9348|s^8d^2\rangle + 0.0646|s^6d^4\rangle + 0.0007|s^4d^4\rangle \\
|\Psi_4^1\rangle &\approx 0.967|2,0,0,4,4^+\rangle + 0.254|4,1,0,4,4^+\rangle + 0.027|6,2,0,4,4^+\rangle + 0.001|8,3,0,4,4^+\rangle \\
|4_2^+\rangle &\approx 0.9087|s^6d^4\rangle + 0.0650|s^8d^2\rangle + 0.0263|s^4d^6\rangle + 0.0001|s^2d^8\rangle \\
|\Psi_4^2\rangle &\approx -0.225|2,0,0,4,4^+\rangle + 0.953|4,1,0,4,4^+\rangle + 0.162|6,2,0,4,4^+\rangle + 0.009|8,3,0,4,4^+\rangle \\
|4_3^+\rangle &\approx 0.9689|s^7d^3\rangle + 0.0309|s^5d^5\rangle + 0.0002|s^3d^7\rangle \\
|\Psi_4^3\rangle &\approx 0.984|3,0,0,4,4^+\rangle + 0.176|5,1,0,4,4^+\rangle + 0.013|7,2,0,4,4^+\rangle \\
|4_4^+\rangle &\approx 0.9549|s^5d^5\rangle + 0.0310|s^7d^3\rangle + 0.0140|s^3d^7\rangle \\
|\Psi_4^4\rangle &\approx -0.176|3,0,0,4,4^+\rangle + 0.977|5,1,0,4,4^+\rangle + 0.118|7,2,0,4,4^+\rangle + 0.004|9,3,0,4,4^+\rangle
\end{aligned}$$

## 2.5. 电磁跃迁

利用波函数我们可以进一步研究原子核的电磁性质，本文计算了低激发能级的  $B(E2)$  值，见表 3。

**Table 3.** The  $B(E2)$  of electromagnetic transitions of  $^{100}\text{Zr}$   
**表 3.**  $^{100}\text{Zr}$  电磁跃迁的  $B(E2)$  值

	$B(E2)$		$B(E2)$		$B(E2)$
$2_1^+ \rightarrow 0_1^+$	19.3592	$2_2^+ \rightarrow 0_2^+$	7.5032	$2_4^+ \rightarrow 0_3^+$	3.3401
$2_3^+ \rightarrow 2_1^+$	21.3204	$2_4^+ \rightarrow 2_2^+$	16.2634	$3_1^+ \rightarrow 2_3^+$	15.8039
$4_1^+ \rightarrow 2_1^+$	25.9874	$4_2^+ \rightarrow 2_2^+$	16.2476	$4_3^+ \rightarrow 2_3^+$	16.2775
$4_4^+ \rightarrow 2_4^+$	11.6057	$4_1^+ \rightarrow 3_1^+$	6.5414	$4_5^+ \rightarrow 4_1^+$	14.0172
$4_4^+ \rightarrow 4_2^+$	10.6001	$5_1^+ \rightarrow 3_1^+$	16.7196	$5_1^+ \rightarrow 4_3^+$	7.5998
$6_1^+ \rightarrow 4_1^+$	29.4361	$6_2^+ \rightarrow 4_2^+$	22.2603	$6_3^+ \rightarrow 4_3^+$	21.7138
$6_4^+ \rightarrow 4_4^+$	16.2353	$6_3^+ \rightarrow 6_1^+$	10.1331	$6_4^+ \rightarrow 6_2^+$	7.5764
$7_1^+ \rightarrow 5_1^+$	22.3819	$8_1^+ \rightarrow 6_1^+$	31.8469	$8_2^+ \rightarrow 6_2^+$	23.8116
$8_3^+ \rightarrow 6_3^+$	24.8066	$8_4^+ \rightarrow 6_4^+$	17.5420	$8_3^+ \rightarrow 8_1^+$	7.8337
$8_4^+ \rightarrow 8_2^+$	5.5396	$9_1^+ \rightarrow 7_1^+$	24.2268	$10_1^+ \rightarrow 8_1^+$	32.6402
$10_2^+ \rightarrow 8_2^+$	23.0816	$10_3^+ \rightarrow 8_3^+$	25.5915	$10_4^+ \rightarrow 8_4^+$	16.3520

### 3. 结论

本文用 IBM 模型对偶 - 偶核  $^{100}\text{Zr}$  进行了研究, 在模型所选的参数下拟合了低激发能级, 计算结果在一定的误差允许范围内是合理的。同时也用能级的对应的波函数计算了约化跃迁几率。 $^{100}\text{Zr}$  核素的 E-GOS 曲线结果表明  $^{100}\text{Zr}$  是具有 U(5) 振动极限到 SU(3) 转动极限之间的过渡核, 趋近于 O(6) 极限, 具有较明显的  $\gamma$ -不稳定特性。

### 基金项目

内蒙古自治区教育厅自然科学重点项目(NJZZ17296)。

### 参考文献

- [1] Iachello, F. and Arima, A. (1987) The Interacting Boson Model. Cambridge University Press, Cambridge. <https://doi.org/10.1017/CBO9780511895517>
- [2] Arima, A. and Iachello, F. (1976) Interacting Boson Model of Collective States I. The Vibrational Limit. *Annals of Physics*, **99**, 253-317. [https://doi.org/10.1016/0003-4916\(76\)90097-X](https://doi.org/10.1016/0003-4916(76)90097-X)
- [3] Arima, A. and Iachello, F. (1978) Interacting Boson Model Of Collective Nuclear States II. The Rotational Limit. *Annals of Physics*, **111**, 201-238. [https://doi.org/10.1016/0003-4916\(78\)90228-2](https://doi.org/10.1016/0003-4916(78)90228-2)
- [4] Arima, A. and Iachello, F. (1979) Interacting Boson Model of Collective Nuclear States IV. The O(6) Limit. *Annals of Physics*, **123**, 468-492. [https://doi.org/10.1016/0003-4916\(79\)90347-6](https://doi.org/10.1016/0003-4916(79)90347-6)
- [5] Pan, F., Draayer, J.P. and Luo, Y.A. (2003) A Close Look at  $U(5) \leftrightarrow SU(3)$  Transitional Patterns in the Interacting Boson Model. *Physics Letters B*, **576**, 297-302. <https://doi.org/10.1016/j.physletb.2003.09.098>
- [6] Liu, Y.X., Mu, L.Z. and Wei, H.Q. (2006) Approach to the Rotation Driven Vibrational to Axially Rotational Shape Phase Transition along the Yrast Line of a Nucleus. *Physics Letters B*, **633**, 49-53. <https://doi.org/10.1016/j.physletb.2005.11.018>
- [7] Mu, L.Z. and Liu, Y.X. (2005) Rotation Driven Shape-Phase Transition of the Yrast Nuclear States with O(6) Symmetry in the Interacting Boson Model. *Chinese Physics Letters*, **22**, 1354-1357. <https://doi.org/10.1088/0256-307X/22/6/016>
- [8] Zhang, J.F., Lv, L.J. and Bai, H.B. (2007) Critical Behavior in Nuclear Structure from Spherical to Axially Symmetric

---

Deformed Shape in IBM. *Chinese Physics*, **16**, 1841-1846. <https://doi.org/10.1088/1009-1963/16/7/022>

- [9] Liu, Y.X., Sun, Y., Zhou, X.H., *et al.* (2011) A Systematical Study of Neutron-Rich Zr Isotopes by the Projected Shell Model. *Nuclear Physics A*, **858**, 11-31. <https://doi.org/10.1016/j.nuclphysa.2011.03.010>